

# بررسی تأثیر دما بر رفتار خوردگی فولاد کربنی در تماس با عایق گرمایی

## پشم سنگ

اردشیر یارک زاده<sup>۱\*</sup>، احمد ساعتچی<sup>۲</sup>، رضا ابراهیمی کهریزسنگی<sup>۳</sup>، محسن دوازده امامی<sup>۴</sup> و محمد حسین بینا<sup>۵</sup>

۱- دانشجوی کارشناسی ارشد، دانشگاه آزاد اسلامی، واحد نجف آباد، دانشکده مهندسی مواد، اصفهان، ایران

۲- استاد، دانشگاه صنعتی اصفهان، دانشکده مهندسی مواد، اصفهان، ایران

۳- دانشیار، دانشگاه آزاد اسلامی، واحد نجف آباد، دانشکده مهندسی مواد، اصفهان، ایران

۴- استادیار، دانشگاه صنعتی اصفهان، دانشکده مهندسی مکانیک، اصفهان، ایران

۵- دانشجوی دکتری، سازمان پژوهش‌های علمی و صنعتی ایران، دانشکده مواد پیشرفت و انرژی های نو، تهران، ایران

\*a.yarakzadeh@yahoo.com

(تاریخ دریافت: ۱۳۹۰/۰۲/۳۱، تاریخ پذیرش: ۱۳۹۰/۰۴/۱۶)

### چکیده

در این پژوهش، خوردگی فولاد API 5L 42X در تماس با عایق گرمایی پشم سنگ در چهار دمای ۲۰، ۴۰، ۶۰ و ۸۰ درجه‌ی سانتیگراد بررسی شده است. بدین منظور از آزمون‌های پلاریزاسیون تافل، پلاریزاسیون سیکلی و کاهش وزن استفاده گردید. آزمون‌های الکتروشیمیایی و کاهش وزن بترتیب در مایع حاصل از شستشوی عایق و در تماس با عایق مرطوب به انجام رسیدند. علاوه بر این محصولات خوردگی حاصل از آزمون‌های کاهش وزن در دو دمای ۲۰ و ۸۰ درجه‌ی سانتیگراد بمنظور تأیید نتایج پوسیله‌ی پراش پرتو ایکس مورد ارزیابی قرار گرفتند. نتایج آزمون‌های پلاریزاسیون تافل و کاهش وزن در دمای ۲۰ درجه‌ی سانتیگراد نشان داد، عایق پشم سنگ دارای پتانسیل پایینی در ایجاد خوردگی است که این موضوع پیامدی از خصلت قلیایی محلول حاصل از شستن این عایق و غلظت پایین یون کلر موجود در آن می‌باشد. افزایش دما از ۲۰ تا ۸۰ درجه‌ی سانتیگراد در آزمون‌های کاهش وزن بدیل شکل‌گیری یک سیستم بسته‌ی خوردگی موجب افزایش مداموم سرعت خوردگی نمونه‌های فولادی گردید، در حالیکه در آزمون‌های پلاریزاسیون تافل در محدوده‌ی دمایی ۶۰ تا ۸۰ درجه‌ی سانتیگراد بدیل شکل‌گیری یک سیستم باز چنین رفتاری مشاهده نشد. آزمون‌های پلاریزاسیون سیکلی و مشاهدات میکروسکوپی سطح نمونه‌ها پس از آزمون‌های کاهش وزن نشان دادند، افزایش دما تمايل به خوردگی موضعی را افزایش داده است.

### واژه‌های کلیدی:

خوردگی زیر عایق، پشم سنگ، دما، خوردگی یکنواخت، خوردگی موضعی.

- امروزه لزوم صرفه‌جویی در مصرف انرژی، استفاده از عایق-

۱- مقدمه

هدف از انجام تحقیق حاضر ارزیابی تأثیر دما بر خوردگی فولاد API 5L 42X در زیر عایق گرمایی پشم‌سنگ بوده است. به همین منظور آزمون‌های خوردگی علاوه بر آن که مستقیماً بویلی ترکیب فولاد با عایق مرتبط به انجام رسیدند، در محلول‌های شبیه‌سازی شده نیز توسط روش‌های الکتروشیمیایی صورت پذیرفته‌اند. نتایج حاصل از این مطالعه می‌تواند جهت تعیین رفتار خوردگی فولاد API 5L 42X در زیر عایق گرمایی پشم‌سنگ در صنعت مفید باشد.

## ۲- مواد و روش تحقیق

### ۲-۱- مواد

در این تحقیق نمونه‌هایی از فولاد با کد استاندارد API 5L 42X جهت انجام آزمون‌های خوردگی مورد استفاده قرار گرفته‌اند. ترکیب شیمیایی این فولاد در جدول (۱) ارائه شده است. ترکیب شیمیایی عایق پشم‌سنگ مطابق با اطلاعات حاصل از کارخانه‌ی سازنده<sup>۴</sup> نیز که آنالیز آن توسط روش XRF به انجام رسیده در جدول (۲) نشان داده شده است.

جدول (۱): ترکیب شیمیایی فولاد مورد استفاده در این تحقیق.

عنصر	%Fe	%S	%P	%Mn	%Si	%C
درصد وزنی	۹۷/۹۶	۰/۰۳	۰/۰۳	۱/۲۵	۰/۴۵	۰/۲۸

جدول (۲): ترکیب شیمیایی الیاف پشم‌سنگ مورد استفاده در این تحقیق.

ترکیب	درصد وزنی
% MgO	۱۰
% SiO <sub>2</sub>	۴۶
% Al <sub>2</sub> O <sub>3</sub>	۱۴
% TiO <sub>2</sub>	۱/۵
% Fe <sub>2</sub> O <sub>3</sub> + FeO	۷/۵-۸
% CaO	۱۸

### ۲-۲- نشستن عایق پشم‌سنگ

به منظور ارزیابی حداکثر میزان یون کلر قابل استخراج از عایق پشم‌سنگ و همچنین بدست آوردن pH محلول حاصل از شسته شدن این عایق از استاندارد ASTM C871 [۱۱] استفاده شد. لازم بذکر است غلظت یون کلر در محلول حاصل از

های گرمایی بر روی سطح تجهیزات مورد استفاده در صنایع را اجتناب ناپذیر نموده است. در عمل عایق‌های گرمایی می‌توانند شرایطی را فراهم آورند که خوردگی بصورت مخفیانه در سطح فلز صورت بپذیرد [۱].

مطابق با تعریف، خوردگی زیر عایق<sup>۱</sup> به خوردگی تجهیزات فلزی در زیر عایق‌های گرمایی در نتیجه‌ی حضور آب، اکسیژن یا سایر الکتروولیت‌های خورنده گفته می‌شود [۲]. این خوردگی چالشی جدی برای صنایع نفت و گاز بشمار می‌آید [۳-۴]. تحقیقات شرکت نفتی اگرون مویبل<sup>۲</sup> در سال ۲۰۰۳ نشان داد که بیش از ۴۰ درصد از هزینه‌ی عملیات تعمیرات و نگهداری خطوط لوله مربوط به خوردگی زیر عایق بوده است [۵].

خوردگی زیر عایق دارای مکانیزم الکتروشیمیایی است و در حقیقت تا زمانی که رطوبت در فصل مشترک فلز- عایق تجمع نیابد، خوردگی نیز رخ نخواهد داد [۶]. نفوذ رطوبت از منابع خارجی مانند آب باران و چگالش بخارآب بر روی سطح تجهیز عایق‌بندی شده دو منبع اصلی تأمین رطوبت در فرآیند خوردگی زیر عایق می‌باشند [۷]. نقش عایق‌های گرمایی در بروز خوردگی زیر عایق را می‌توان در سه عامل (الف) ایجاد فضای حلقوی یا شیار برای نگهداشتن آب یا سایر الکتروولیت‌های خورنده در تماس با بدنه‌ی تجهیز، (ب) عایق‌های گرمایی خود موادی جاذب رطوبت هستند، و (ج) وارد شدن یون‌های مهاجم موجود در عایق‌های گرمایی در فرآیند خوردگی زیر عایق دانست [۷]. خوردگی در زیر انواع عایق‌های گرمایی امکان پذیر است. نوع عایق تنها در سرعت و کیفیت آن نقش دارد [۸]. عایق پشم‌سنگ<sup>۳</sup> جزء خانواده‌ی عایق‌های گرمایی مشتمل از الیاف معدنی بوده که ماده‌ی اولیه‌ی اصلی برای تولید آن سنگ بازالت از گروه سنگ‌های آتش‌شناختی آذرین می‌باشد [۹]. این عایق اشتعال‌ناپذیر بوده و محدوده‌ی دمایی بهینه‌ی سرویس دهی آن ۲۰ تا ۶۵ درجه‌ی سانتیگراد است [۱۰]. قابلیت جذب آب توسط پشم‌سنگ وابسته به طول و جهت گیری الیاف و نوع چسب مورد استفاده در ساخت، متفاوت است. این عایق همچنین اجازه‌ی عبور بخارآب را از خود می‌دهد، لذا محدودیت‌هایی برای استفاده از آن بر روی سطح تجهیزات سردکار وجود دارد [۷].

شسته شدن عایق توسط روش تیتراسیون اندازه گیری گردید.

نمونه ها پیش از ساخت سل لوله ای تا چهار رقم اعشار توسط یک ترازوی دیجیتال وزن شدند. شماتیکی از سل لوله ای مورد استفاده در این آزمون در شکل (۱) نشان داده شده است.

در راستای تکمیل سل، نمونه ای استوانه ای شکل (معادل حجم درون لوله) از عایق پشم سنگ تهیه و درون سل لوله ای قرار داده شد و سپس به مدت ۱۴ روز مقدار  $10 \text{ ml/liter}$  آب مقطر درون آن تزریق گردید.

دمای مورد نظر برای انجام آزمون توسط هیتر صفحه ای فراهم شد. در خاتمه پس از جدا نمودن متعلقات سل و محصولات خوردگی مطابق استاندارد C1617 ASTM مجدداً نمونه فولادی وزن و بر اساس کاهش وزن بوجود آمده سرعت خوردگی محاسبه گردید. به منظور افزایش دقت و اعتبار نتایج، این آزمون ۳ مرتبه بر روی نمونه های مشابه تکرار و میانگین نتایج مورد استفاده واقع شد.

### ۵-۲- بررسی های سطحی

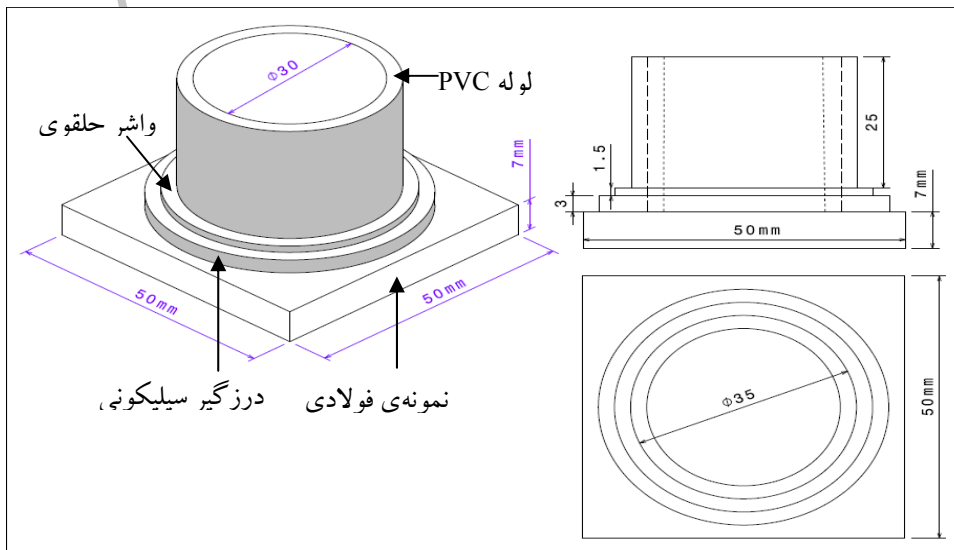
مورفولوژی سطوح خورده شده پس از آزمون های کاهش وزن توسط میکروسکوپ نوری ارزیابی شدند. به منظور تشخیص فازهای موجود در محصولات خوردگی از دستگاه پراش پرتوایکس فیلیپس مدل X'Pert-MPD با ولتاژ  $40 \text{ KV}$ ، جریان  $30 \text{ mA}$  و تشعشع  $\lambda=1/542 \text{ Cu K}\alpha$  استفاده شد.

### ۳-۲- آزمون های الکتروشیمیایی

آزمون های الکتروشیمیایی توسط دستگاه پتانسیو استات مدل PARSTAT 2273A، همراه با سه الکترود مرجع Ag-AgCl و الکترود کمکی پلاتینی و الکترود کاری به انجام رسیدند. محلول مناسب جهت انجام آزمون های الکتروشیمیایی بوسیله ای مخلوط نمودن مقدار  $50 \text{ g}$  از عایق پشم سنگ در یک لیتر آب مقطر ( $\text{pH}=6$ )، توسط یک دستگاه محلول کن و سپس عبور دادن از کاغذ صافی تا رسیدن به محلولی شفاف بدست آمد. نمونه های فولادی مورد استفاده بعنوان الکترود کاری در رزین اپوکسی به گونه ای مانت شدند که یک سطح آنها با ابعاد  $20 \times 20 \text{ mm}$  در معرض محیط قرار بگیرد. سطح نمونه ها توسط کاغذ سمباده SiC تا شماره  $800$  پولیش و سپس با استون چربی زدایی و با آب مقطر شستشو داده شدند. به منظور ایجاد شرایط پایدار، نمونه ها پیش از انجام آزمون به مدت یک ساعت در محلول غوطه ور بوده اند. دمای مورد نیاز برای انجام آزمون ها توسط یک حمام بن ماری فراهم شد. نمونه ها بترتیب افزایش دما ( $20^{\circ}\text{C}$ ,  $40^{\circ}\text{C}$ ,  $60^{\circ}\text{C}$  و  $80^{\circ}\text{C}$  درجه سانتیگراد) A, B, C و D نامیده شده اند.

### ۴-۲- آزمون های کاهش وزن

آزمون های کاهش وزن مطابق با استاندارد C1617 [۱۲] ASTM در سل های لوله ای انجام شدند. آمده سازی سطحی نمونه های کاهش وزن مطابق با نمونه های آزمون های الکتروشیمیایی به انجام رسید.



شکل (۱): شماتیک سل لوله ای.

از یکسو به رفتار شبه‌پسیو<sup>۵</sup> سطح نمونه فولادی در این میزان از pH و از سوی دیگر به مقاومت الکتریکی نسبتاً بالای محلول بدليل غلظت پایین یون‌های کلر شسته شده از عایق مرتبط دانست [۱۴-۱۳].

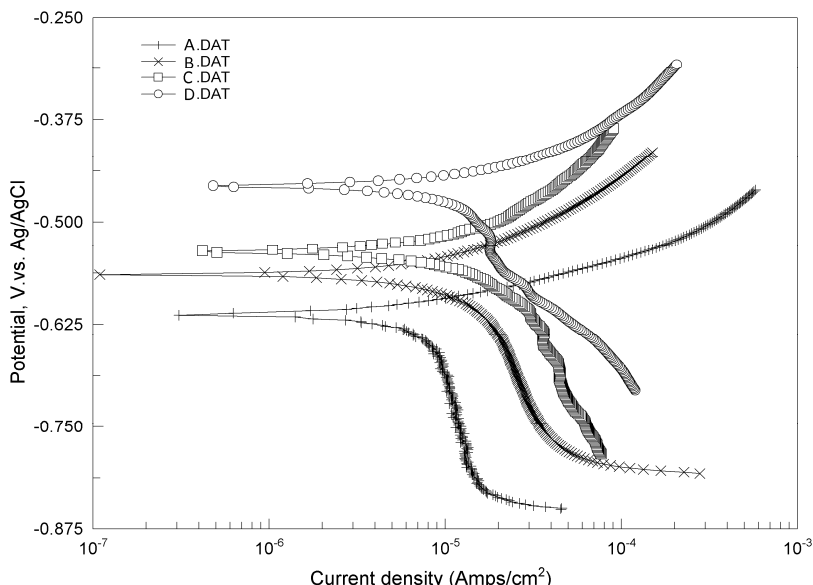
در حقیقت در این شرایط عامل تعیین‌کننده سرعت خوردگی، نرخ نفوذ اکسیژن از میان فیلم شبه‌پسیو تشکیل شده می‌باشد. مقدار بسیار اندک اکسید آهن شناسایی شده در الگوی پراش پرتو ایکس نمونه A (شکل ۳) مؤید سرعت خوردگی پایین فولاد در این شرایط است.

در آزمون‌های پلاریزاسیون تافل با افزایش دما از ۲۰ تا ۶۰ درجه‌ی سانتیگراد عملأً بدليل افزایش نرخ نفوذ اکسیژن، سرعت خوردگی نمونه‌های فولادی نیز افزایش یافته است (شکل ۴). شبیه‌های کاتدی مربوط به این نمونه‌ها (A، B و C) مؤید این تغییر هستند.

### ۳- نتایج و بحث

شکل (۲) منحنی‌های حاصل از آزمون پلاریزاسیون تافل را برای نمونه‌های فولادی در چهار دمای متفاوت نشان می‌دهد. در جدول (۳) نیز نتایج آزمون‌های کاهش وزن و پلاریزاسیون تافل آورده شده‌اند.

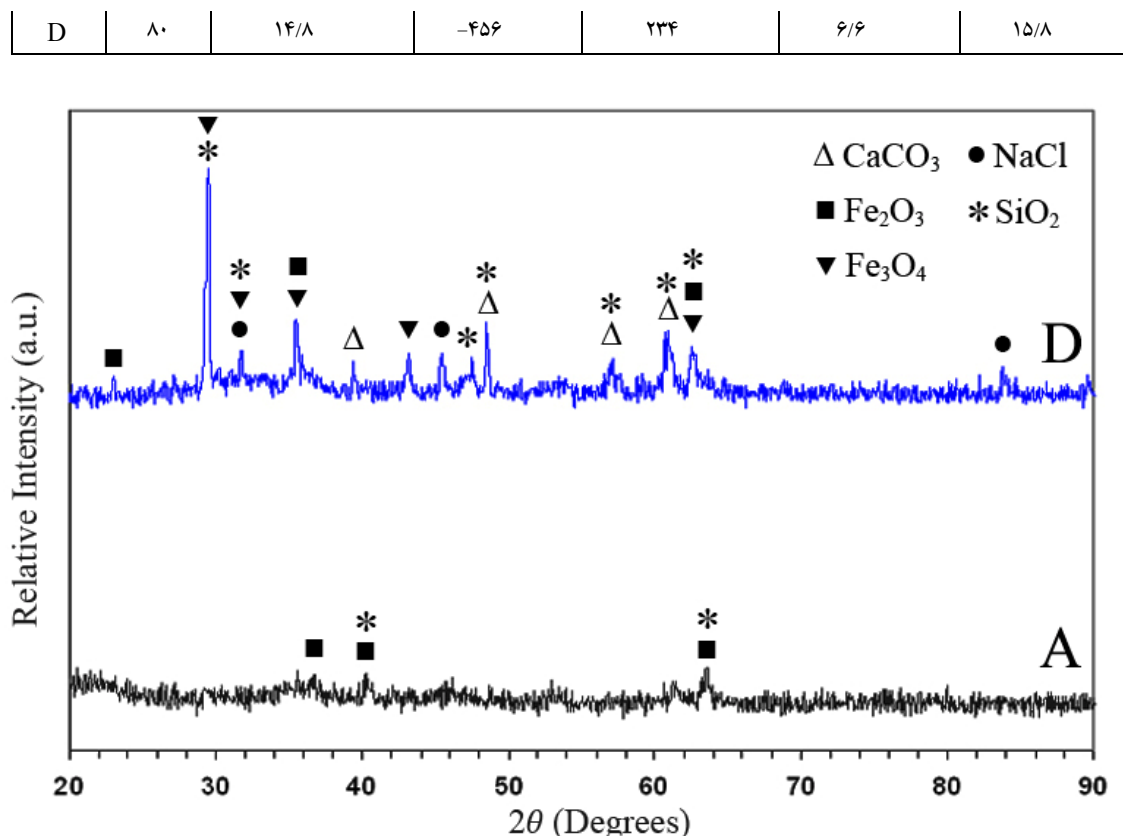
نتایج بدست آمده از آزمون شستن عایق پشم سنگ نشان داد که محلول حاصل از این عایق دارای خصلت قلیایی (pH= ۹/۶±۰/۱) بوده و محتوای یون کلر موجود در آن (۶ppm) بسیار پایین می‌باشد. بررسی اطلاعات موجود در جدول (۳) نشان می‌دهد سرعت خوردگی نمونه‌ی فولادی در تماس با محلول حاصل از شستن عایق پشم سنگ (آزمون تافل) و عایق مرطوب (کاهش وزن) در دمای ۲۰ درجه‌ی سانتیگراد (نمونه‌ی A) بسیار پایین می‌باشد. دليل این موضوع را می‌توان



شکل (۲): منحنی‌های حاصل از آزمون پلاریزاسیون تافل برای فولاد در چهار دمای متفاوت.

جدول (۳): نتایج آزمون‌های کاهش وزن و پلاریزاسیون تافل.

نمونه	دما (°C)	پلاریزاسیون تافل				کاهش وزن
		i <sub>corr</sub> (µA/cm²)	E <sub>corr</sub> (mV)	β <sub>c</sub> (mV/dec.)	C.R.(mpy)	
A	۲۰	۷/۸	-۶۱۰	۷۵۲	۳/۵	۲/۴
B	۴۰	۱۵/۱	-۵۶۴	۴۵۷	۶/۸	۷/۸
C	۶۰	۱۹/۶	-۵۳۷	۳۸۹	۸/۸	۱۰/۶



شکل (۳) : الگوی پراش پرتو ایکس مربوط به نمونه‌های A و D.

در سایر موارد آزمون‌های کاهش وزن، سرعت خوردگی بالاتری را نسبت به آزمون‌های تافل بدست داده‌اند. نسبت سرعت خوردگی در آزمون‌های کاهش وزن به آزمون‌های پلاریزاسیون تافل حداقل ۰/۶۹ (نمونه A) و حداقل ۲/۳۸ (نمونه D) می‌باشد.

دلیل ایجاد تغییر در نسبت R را می‌توان در چند عامل مهم جستجو کرد: (الف) اکسیژن موجود در محلول آزمون کاهش وزن بدليل ویژگی سلوله ای در مقایسه با آزمون تافل توانایی خروج از آن را نداشت، لذا فرآیند خوردگی علاوه بر سایر عوامل تحت تأثیر مداوم وجود اکسیژن قرار داشته است، (ب) شکل‌گیری سیکل خشک و تر شدن که بصورت روزانه اتفاق افتاده سبب وقوع فرآیند احیاء شتاب یافته‌ی اکسیژن بر اثر کاهش ضخامت لایه‌ی الکتروولیت شده است و (ج) بدليل ویژگی فصل مشترک فلز - عایق و عدم چسبندگی کامل میان این دو، محصولات خوردگی بصورت غیریکنواخت بر روی

البته در این میان کاهش در سرعت خوردگی از دمای ۸۰ به ۲۰ درجه‌ی سانتیگراد دیده می‌شود که این موضوع را می‌توان ناشی از خروج اکسیژن از محلول (بسه نبودن سیستم) دانست. افزایش دما همچنین سبب افزایش پتانسیل خوردگی شده است. در آزمون‌های کاهش وزن با تغییر دما از ۲۰ تا ۸۰ درجه‌ی سانتیگراد عملاً بدليل شکل‌گیری یک سیستم بسته، سرعت خوردگی با سیری صعودی مواجه بوده است (شکل ۴). تحت چنین وضعیتی علاوه بر اثرات افزایش دما، رطوبت در تماس با سطح فلز از اکسیژن اشباع شده لذا خوردگی شتاب یافته است [۷]. شدت نسبی پیک‌های مربوط به اکسید آهن در الگوی پراش نمونه‌ی D در مقایسه با نمونه A ای بیان گر شکل‌گیری محصولات خوردگی بیشتری در سطح نمونه‌ی D است.

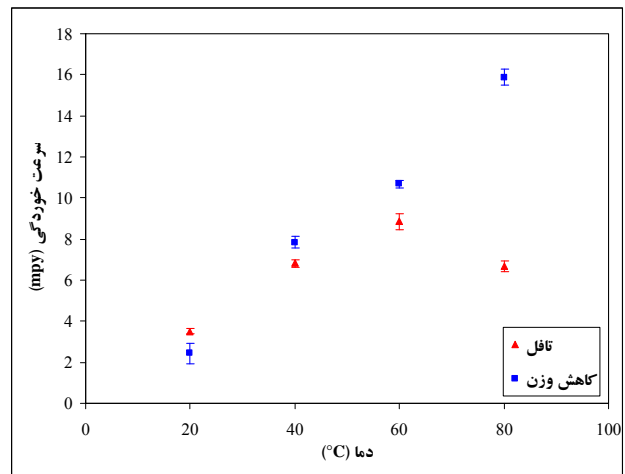
در شکل (۵) مقایسه‌ای میان میانگین نسبت‌های سرعت‌های خوردگی بدست آمده از آزمون کاهش وزن به پلاریزاسیون تافل (R) انجام شده است. مشاهده می‌شود به غیر از یک مورد

فولادهای کربنی عملاً در محیط‌هایی با قلیاییت بالا پسیو می‌شوند. با این حال چنانچه یون‌های کلر یا از طریق شسته شدن عایق و یا منابع خارجی رطوبت به فصل مشترک فلز- عایق منتقل شوند، تمایل به شکست لایه‌ی پسیو وجود دارد [۱۳]. واضح است بسته به میزان رطوبت، غلظت یون کلر می‌تواند از حالت اشباع (بهنگام تجمع مقادیر اندک رطوبت) تا کسری از آن (به هنگام تجمع مقادیر بالاتر رطوبت) تغییر نماید. همچنین در اثر افزایش دما نیز بدلیل تبخیر رطوبت، غلظت یون کلر افزایش می‌یابد [۱۴].

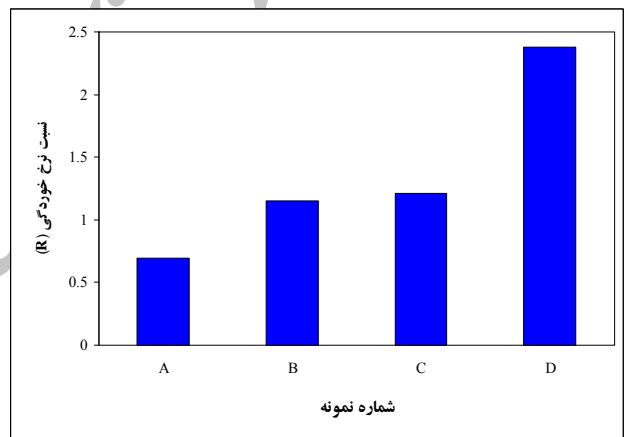
در شکل (۷) منحنی‌های پلاریزاسیون سیکلی نمونه‌های فولادی در تماس با محلول حاصل از شستن عایق پشم‌سنگ در دماهای متفاوت نشان داده شده‌اند. در هیچ یک از این منحنی‌ها انتقال از حالت فعال به غیرفعال دیده نمی‌شود. در حقیقت چنین رفتاری را می‌توان ناشی از شکل‌گیری یک لایه‌ی اکسیدی در محدوده‌ی پتانسیل مدار باز بر روی سطح نمونه‌های فولادی دانست. این لایه‌ی اکسیدی برای تمامی نمونه‌ها در محدوده‌ی وسیعی از پتانسیل پایدار بوده و دارای مقاومت الکتریکی بالای نمی‌باشد. روش پتانسیل در جهت عکس سبب شکل‌گیری یک حلقه‌ی هیسترزیس با علامت مثبت در تمامی منحنی‌ها شده است. این موضوع نشان می‌دهد با آن که میزان یون کلر موجود در عایق پشم‌سنگ پایین می‌باشد با این حال امکان تشکیل حفره‌ها وجود دارد.

مشاهدات میکروسکوپی سطوح نمونه‌های A، B، C و D پس از آزمون‌های کاهش وزن مؤید وقوع خوردگی موضعی می‌باشد (شکل (۸)). همچنان که از منحنی‌های پلاریزاسیونی و بررسی‌های میکروسکوپی مشخص است افزایش دما از ۲۰ تا ۸۰ درجه سانتیگراد سبب شدت یافتن خوردگی موضعی شده است. دلیل این موضوع را می‌توان جذب الکترواستاتیکی بیشتر یون‌های کلر موجود در محلول انجام آزمایش بر روی سطح نمونه‌های فولادی در اثر افزایش دما دانست، که این موضوع شکست لایه‌ی پسیو را با خود به همراه دارد [۱۵].

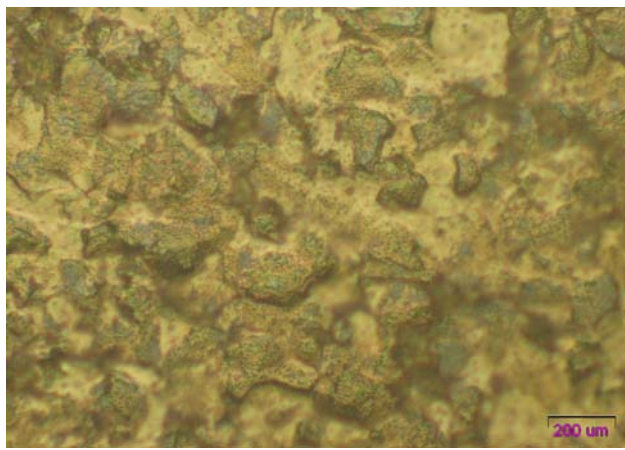
سطح تشکیل شده‌اند (شکل (۶)).



شکل (۴) : مقایسه سرعت خوردگی حاصل از آزمون‌های تافل و کاهش وزن.



شکل (۵) : میانگین نسبت سرعت خوردگی آزمون‌های کاهش وزن به پلاریزاسیون تافل.



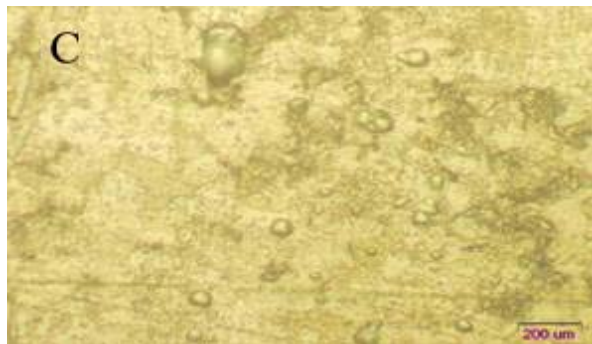
شکل (۶) : نمونه‌ای از غیر یکواختی محصولات خوردگی بر روی سطح نمونه‌های آزمون کاهش وزن (نمونه D).



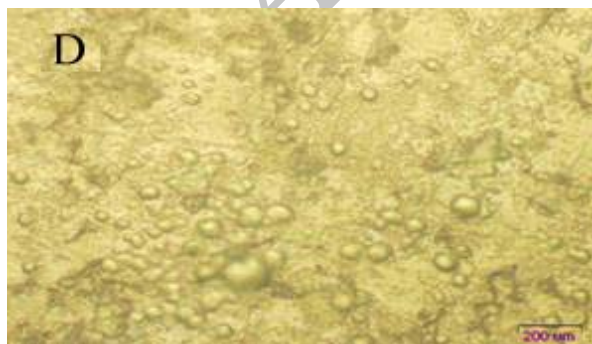
(الف)



(ب)

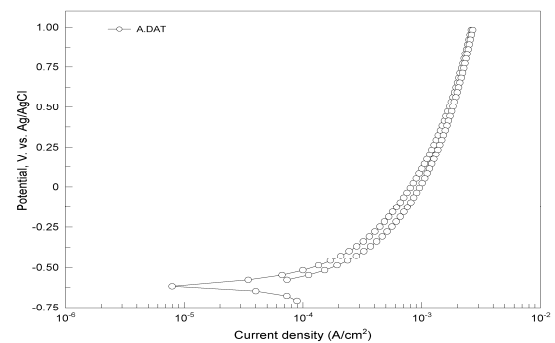


(ج)

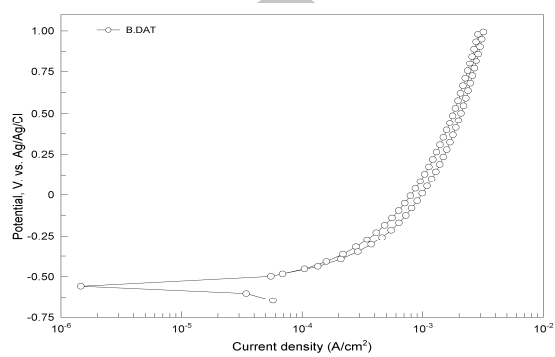


(د)

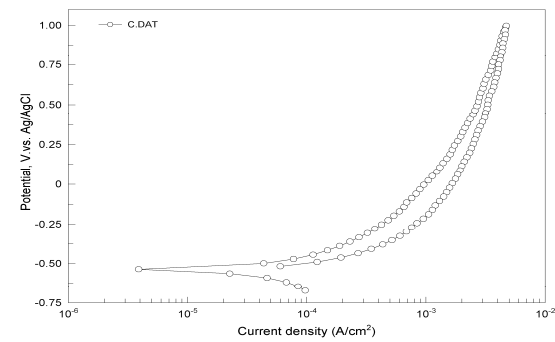
شکل (۸) : تصویر میکروسکوپی از سطوح نمونه‌های فولادی پس از آزمون کاهش وزن: (الف) ۲۰، (ب) ۴۰، (ج) ۶۰ و (د) ۸۰ درجه‌ی سانتیگراد.



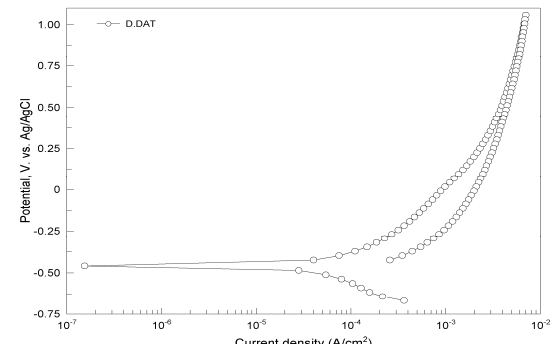
(الف)



(ب)



(ج)



(د)

شکل (۷) : منحنی‌های حاصل از آزمون پلاریزاسیون تافل برای فولاد در دمای‌های: (الف) ۲۰، (ب) ۴۰، (ج) ۶۰ و (د) ۸۰ درجه‌ی سانتیگراد.

- [2] ASTM Standard, "Standard Guide for Laboratory Simulation of Corrosion under Insulation", ASTM G189-07, 2007.
- [3] M. S. Kumar, M. Sujata, M.A.Venkataswamy, S.K. Bhaumik, "Failure analysis of a stainless steel pipeline", Engineering Failure Analysis, Vol. 15, Issue 5, pp. 497-504, 2008.
- [4] T.H. Erickson, L. Dash, J.J. Murali and C.R. Ayers, "Predicting the Progression of Wetness and Corrosion under Insulation Damage in Aboveground Pipelines", Paper Number 10373, NACE Corrosion Conference & Expo, 2010.
- [5] M. Lettich, "Is There A Cure for Corrosion under Insulation," Insulation Outlook Magazine, 2005.
- [6] P.J. Dunn, R. Norsworthy, "Control of Corrosion under Insulation", ASHRAE Journal, Vol. 45, No. 3, pp. 32-39, 2003.
- [7] ASTM Standard, "Standard Practice: The Control of Corrosion Under Thermal Insulation and Fireproofing Materials - A Systems Approach," NACE Standard RP0198-2010, Item No. 21084, 2010.
- [8] P. Lazar, "Factors Affecting Corrosion of Carbon Steel Under Thermal Insulation," Corrosion of Metals Under Thermal insulation, ASTM STP 880, W.I. Pollock and J.M. Barnhart, Eds., American Society for Testing and Materials, Philadelphia, pp. 11-26, 1985.
- [9] ISO 9229, "Thermal insulation–Vocabulary", 2007.
- [10] S. Winnik, European Federation of Corrosion Publications Number 55: Corrosion-under-insulation (CUI) guidelines, Woodhead Publishing Limited, Cambridge, England, 2008.
- [11] STM Standard, "Standard Test Methods for Chemical Analysis of Thermal Insulation Materials for Leachable Chloride, Fluoride, Silicate, and Sodium Ions", ASTM C871-00, 2000.
- [12] ASTM Standard, "Standard Practice for Quantitative Accelerated Laboratory Evaluation of Extraction Solutions Containing Ions Leached from Thermal Insulation on Aqueous Corrosion of Metals", ASTM C1617-09, 2009.
- [13] E. E. Stansbury, "Effects of Aeration on Corrosiveness of Wet Residential Building Thermal Insulation on Low Carbon Steel," Insulation Materials: Testing and Applications, 2nd Vol, ASTM STP 1116, R.S. Graves, D.C. Wysocki, Eds., American Society for Testing and Materials, Philadelphia, pp. 603-618, 1991.
- [14] E. E. Stansbury, "Corrosiveness of Wet Residential Building Thermal Insulation–Mechanisms and Evaluation of Electrochemical Methods for Assessing Corrosion Behavior", OAK Ridge National Laboratory Report ,1991.

۱۵] م. صارمی و ا. محلاتی، بررسی الکتروشیمیایی اثر بازدارندگی نیتریت سدیم بر خوردگی فولاد کربنی در محلول مشابه بتون، نشریه دانشکده فنی (دانشگاه تهران)، جلد ۳۶، شماره ۴، ص ۵۷۰-۵۳۶، آسفند ۱۳۸۱.

## ۴- نتیجه‌گیری

۱- نتایج آزمون‌های صورت پذیرفته مطابق با استاندارد ASTM C871 نشان داد، محلول حاصل از شستن عایق پشم‌سنگ دارای خصلت قلیایی بوده و حداقل مقدار یون کلر شسته شده ۶ppm می‌باشد.

۲- احیاء اکسیژن، واکنش کاتدی غالب در ایجاد خوردگی برای نمونه‌های فولادی در تمامی دماها تشخیص داده شد. در حقیقت سرعت نفوذ اکسیژن از میان محصولات خوردگی تشکیل شده بر روی سطح نمونه‌های فولادی عامل کنترل کننده سرعت خوردگی می‌باشد.

۳- با افزایش دما، آزمون‌های کاهش وزن در مقایسه با آزمون‌های پلاریزاسیون تألف سرعت خوردگی بیشتری را بدست دادند. این موضوع بر شکل‌گیری سیستم بسته و همچنین تأثیرگذاری فصل مشترک عایق مرطوب و فولاد بر فرآیند خوردگی تأکید دارد.

۴- آزمون‌های پلاریزاسیون سیکلی نشان دادند در تمامی دماها لایه‌ای اکسیدی در محدوده پتانسیل مدار باز بر روی سطح نمونه‌های فولادی تشکیل می‌شوند که این موضوع نشان دهنده رفتار شبه‌پسیو سطح نمونه‌های فولادی در محلول حاصل از شستن عایق می‌باشد.

۵- روش پتانسیل در جهت عکس سبب شکل‌گیری یک حلقه‌ی هیسترزیس با علامت مثبت در منحنی‌های پلاریزاسیون سیکلی در تمامی دماها شده است. افزایش دما سبب شدت یافتن خوردگی موضعی بر روی سطح نمونه‌های فولادی گردید.

## ۵- تشكر و قدردانی

بدینوسیله از مسئول آزمایشگاه خوردگی فلزات دانشکده‌ی مهندسی مواد دانشگاه آزاد اسلامی واحد نجف آباد جناب آقای مهندس امیرخانی بدلیل همکاری صادقانه، تشكر و قدردانی می‌گردد.

## ۶- مراجع

- [1] R.D. Kane, M.M. Chauviere and K.Chustz, "Evaluation of Steel and TSA Coating in a Corrosion under Insulation (CUI) Environment", Paper Number 08036, NACE Corrosion Conference & Expo, 2008.

۷- پی‌نوشت

1- Corrosion under Insulation

2- Exxon Mobile

3- Rockwool Insulation

۴- شرکت پشم و سرباره آسیا

5- Pseudo Passivation

Archive of SID